

## پیش‌بینی شکست شیارهای V شکل با سوراخ انتهایی تحت بارگذاری مرکب کششی - برشی با استفاده از معیار چگالی انرژی کرنشی

علیرضا ترابی<sup>۱\*</sup>، شهاب امینی نژاد<sup>۲</sup>، فیلیپو برتو<sup>۳</sup>

۱- استادیار، مهندسی مکانیک، دانشگاه تهران، تهران

۲- کارشناسی ارشد، مهندسی هوافضا، دانشگاه تهران، تهران

۳- استاد، مهندسی مکانیک، دانشگاه پادوا، ویچنزا، ایتالیا

\*تهران، صندوق پستی ۱۳۷۴۱-۴۳۹۵

a\_torabi@ut.ac.ir

### چکیده

شیارها یکی از ناپیوستگی‌های معمول در سازه‌های مهندسی می‌باشند که به جهت اهداف طراحی ایجاد می‌گردند. در رابطه با شیارهای V شکل موجود در قطعات از جنس ترد، به علت تمرکز تنش بالا در همسایگی نوک شیار، ترک‌های ایجاد شده در این ناحیه باید رفع و تمییر گردد تا از شکست ترد جلوگیری به عمل آید. یکی از معمول‌ترین روش‌های تعمیراتی، ایجاد یک سوراخ دایره‌ای در نوک شیار V شکل است. این سوراخ، ترک را رفع نموده و هندسه شیار اولیه را به یک شیار V شکل با سوراخ انتهایی تغییر می‌دهد. به علت تغییر هندسه، ظرفیت تحمل بار شیار جدید با شیار اولیه تفاوت خواهد داشت. لذا، برای تضمین اینمیتی سازه تعمیر شده، بررسی شکست شیار جدید در برابر بارهای واردۀ امری ضروری است. در تحقیق حاضر، ابتدا، نمونه آزمایشگاهی جدیدی با نام دیسک برزیلی دارای شیار مرکزی V شکل با سوراخ انتهایی و از جنس پلکسی گلاس، جهت انجام آزمایش‌های شکست در دمای اتاق مدنظر قرار می‌گیرد. بارهای شکست تجربی ثبت شده و تعدادی داده جدید آزمایشگاهی در رابطه با شکست ترد شیارهای V شکل با سوراخ انتهایی تحت بارگذاری مرکب فراهم می‌شود. سپس، برای پیش‌بینی بارهای شکست تجربی، معیار چگالی انرژی کرنشی مدنظر قرار می‌گیرد. از نتایج به دست آمده مشخص می‌شود که معیار چگالی انرژی کرنشی توانایی پیش‌بینی موفقیت‌آمیز استحکام استاتیکی در نمونه‌های دیسک برزیلی شیاردار دارای زوایای مختلف دهانه شیار و شعاع‌های گوناگون نوک شیار را داراست.

### اطلاعات مقاله

مقاله پژوهشی کامل

دریافت: ۰۷ تیر ۱۳۹۴

پذیرش: ۱۳ مرداد ۱۳۹۴

ارائه در سایت: ۳۱ مرداد ۱۳۹۴

کلید واژگان:

شیار V شکل با سوراخ انتهایی

شکست ترد

چگالی انرژی کرنشی

دیسک برزیلی

بارگذاری مدنظری

۱/II

## Fracture prediction of V-notches with end holes under combined tension-shear loading using the strain energy density criterion

Ali Reza Torabi<sup>1\*</sup>, Shahab Amininejad<sup>1</sup>, Filippo Berto<sup>2</sup>

1- Faculty of New Science and Technologies, University of Tehran, Tehran, Iran

2- Department of Management and Engineering, University of Padua, Vicenza, Italy

\* P.O.B. 13741-4395, Tehran, Iran, a\_torabi@ut.ac.ir

### ARTICLE INFORMATION

Original Research Paper

Received 28 June 2015

Accepted 04 August 2015

Available Online 22 August 2015

Keywords:

V-notch with end hole

Brittle fracture

Strain energy density

Brazilian disk

Mixed mode I/II loading

### ABSTRACT

Notches are one of the most common discontinuities in engineering structures that are created for engineering design purposes. Dealing with V-notches in components made of brittle materials, because of the presence of high stress concentration near the notch tip, detected cracks in this region should be removed and repaired to avoid brittle fracture. The most usual repair method is to drill a circular hole at the V-notch tip. Clearly, this hole removes the crack and changes the initial notch geometry to a V-notch with end hole. Because of changing the initial notch feature, the load-carrying capacity of the new notch would be different from the initial one. Therefore, in order to assure the safety of the repaired structure, fracture assessment of the new notch is necessary. In the present research, first, a new test specimen, called Brazilian disk containing central V-notch with end hole made of PMMA is considered for conducting fracture tests at room temperature and the experimental fracture loads are recorded. Some new test results are provided concerning brittle fracture in V-notches with end holes under mixed mode I/II loading. Then, to predict the experimental fracture loads, the strain energy density criterion is utilized. From the obtained results, it is shown that the strain energy density criterion could successfully predict the static strength of notched Brazilian disk specimens for different notch angles and various notch radii.

Please cite this article using:

A. R. Torabi, Sh. Amininejad, F. Berto, Fracture prediction of V-notches with end holes under combined tension-shear loading using the strain energy density criterion, *Modares Mechanical Engineering*, Vol. 15, No. 9, pp. 389-395, 2015 (In Persian)

برای ارجاع به این مقاله از عبارت ذیل استفاده نمایید:

## ۱- مقدمه

شیارهای ۷ شکل نوک‌تیز انجام گرفته است. تا اینجا، عمدۀ تحقیقات انجام‌شده در رابطه با انواع شیارها و نمونه‌های آزمایشگاهی مورد استفاده، بیان گردید. اما، از جدیدترین حوزه‌های مکانیک شکست شیار که در سال‌های اخیر مورد توجه قرار گرفته است، بررسی تئوری و تجربی شکست در شیارهای ۷ شکل با سوراخ انتهایی است. در رابطه با علت شکل‌گیری یک شیار ۷ شکل با سوراخ انتهایی، بایستی به یکی از معمول‌ترین روش‌های تعمیر قطعات ترک‌دار اشاره نمود که در شکل ۱ این فرآیند تعمیراتی به صورت شماتیک آمده است.

در توضیح شکل باید ۱ گفت که نواحی نوک‌تیز دارای تمرکز تنش بوده و مستعد ایجاد ترک می‌باشد. یکی از این نواحی دارای تمرکز تنش شدید، نوک شیارهای ۷ شکل بوده که معمولاً ترک‌هایی در نوک شیار ایجاد می‌گردد. جهت تعمیر ترک ایجادشده، برای ترک‌هایی با طول کوتاه، معمولاً سوراخی به مرکزیت نوک شیار ایجاد گشته که ضمن رفع ترک، شیار ۷ شکل اولیه را به صورت یک شیار ۷ شکل با سوراخ انتهایی تغییر می‌دهد. از آنجایی که هندسه شیار اولیه تغییر کرده، ظرفیت تحمل بار قطعه شیاردار نیز تغییر خواهد کرد و لذا، بررسی مجدد ظرفیت تحمل بار هندسه جدید ضروری است. در رابطه با این نوع شیارها تحقیقاتی به صورت تئوری و تجربی انجام گرفته است که از آن جمله می‌توان به پژوهش انجام‌گرفته توسط زاپالورتو و لازارین [۲۰] اشاره نمود. در پژوهش مذکور، میدان تنش در اطراف شیارهای ۷ شکل با سوراخ انتهایی در حالت‌های مدل ۱، مدل ۱۱ و مدل ۱۱۱ بارگذاری ارائه گردیده و دقت روابط ارائه‌شده به کمک تحلیل اجزاء محدود بررسی شده است. در پژوهش دیگری که توسط لازارین و همکاران [۲۱] انجام گرفت، ضرایب شدت تنش توسعه‌یافته برای شیارهای ۷ شکل با سوراخ انتهایی در مدل ۱۱ خالص بررسی شد. دیگر تحقیق در این حوزه توسط برتو و زاپالورتو انجام شده است. در این پژوهش، محققین با در نظر گرفتن توزیع تنش در اطراف شیار ۷ شکل با سوراخ انتهایی، مفهوم روش شعاع شیار مجازی<sup>۶</sup> را جهت پیش‌بینی شکست در این نوع شیارها توسعه دادند [۲۲]. از جمله دیگر پژوهش‌ها می‌توان به تحقیق لازارین و همکاران [۲۳] نیز اشاره نمود. در این تحقیق، شکست ترد شیارهای کلیدی شکل که حالت خاصی از شیارهای ۷ شکل با سوراخ انتهایی می‌باشد (زاویه دهانه شیار برابر صفر می‌گردد)، مورد بررسی تئوری و تجربی قرار گرفت. در پژوهش مرجع [۲۳]، ابتدا آزمایش‌های شکست ترد بر روی نمونه‌های دارای شیار کلیدی شکل و از جنس گرافیت، تحت بارگذاری مدل ترکیبی انجام و بار شکست و زاویه شروع شکست نمونه‌ها ثبت شد. سپس، به کمک معیار چگالی انرژی کرنشی، نتایج تجربی پیش‌بینی و به تحلیل نتایج پرداخته شد. از دیگر پژوهش‌های انجام‌شده در این حوزه می‌توان به مرجع [۲۴] اشاره نمود که در آن دو رابطه جهت تعیین چرمگی شکست در مدل ۱، برای شیارهای کلیدی شکل و بر اساس معیارهای تنش نقطه‌ای و تنش متوسط ارائه گردید. دقت روابط ارائه‌شده در تخمین چرمگی شکست شیار، با یک سری از داده‌های تجربی گزارش شده در مرجع [۲۳] مقایسه گردید. این داده‌ها مربوط به شکست ترد در نمونه‌های مستطیل شکل، دارای شیار مرکزی کلیدی شکل و از جنس گرافیت ایزواستاتیک بودند که در هندسه‌های مختلف شیار، تحت بارگذاری مدل ۱ خالص آزمایش شده بودند. از مقایسه بین نتایج تئوری و داده‌های تجربی، مشخص گردید که دقت هر کدام از دو معیار، بسته به شعاع نوک شیار، تفاوت می‌کند. اما در مجموع، متوسط دقت معیارهای ارائه‌شده در

در حدود دو قرن پیش، شاخه جدیدی از علم مکانیک شکست با نام مکانیک شکست شیار<sup>۱</sup> پایه‌گذاری گردید که شکست قطعات شیاردار را بررسی می‌نماید. غالب بررسی‌ها در حوزه مکانیک شکست شیار مرکز بر شرایط بارگذاری یکنواخت و استاتیکی است. مدهای بارگذاری در قطعات شیاردار عیناً مشابه عضوهای ترک‌دار بوده که شامل مدل ۱ (بازشدگی خالص دهانه شیار)، مدل ۱۱ (مد برشی داخل صفحه‌ای)، مدل ۱۱۱ (مد برشی خارج از صفحه) و هر ترکیبی از مدهای ذکر شده است. مفاهیم پایه‌ای در مکانیک شکست شیار، مشابه مفاهیم موجود در مکانیک شکست کلاسیک بوده که به عنوان نمونه، معیارهای مدل ناحیه چسبناک [۱]، حداکثر تنش محیطی و تنش متوسط [۵-۶]، انتگرال L [۶]، مکانیک شکست محدود<sup>۲</sup> [۷]، تئوری فواصل بحرانی<sup>۳</sup> [۸] و چگالی انرژی کرنشی<sup>۴</sup> [۹-۱۲] از این دست می‌باشد.

## ۲- مروی بر پژوهش‌های موجود و علت شکل‌گیری شیار ۷ شکل با سوراخ انتهایی

اغلب تحقیقات موجود در زمینه مکانیک شکست شیار تحت مدل ۱ خالص و در دو دیدگاه تئوری و تجربی انجام گرفته است. اما اخیراً تحقیقات در مدل ترکیبی بارگذاری در شیارها افزایش یافته و مورد توجه محققین قرار گرفته است. علت آن نیز کاربرد وسیع تر مدهای بارگذاری ترکیبی در مسائل عملی مهندسی است. بررسی چرمگی شکست در شیارها، عموماً به دو روش تئوری و تجربی انجام می‌پذیرد. در رابطه با روش تجربی، عموماً از نمونه‌های آزمایشگاهی مانند خمش سه نقطه‌ای، خمش چهار نقطه‌ای، نیم دیسک برزیلی و دیسک برزیلی و ... استفاده گردیده که هریک دارای معایب و مزایای مخصوص به خود می‌باشند. برای مثال، آیت‌الله و ترابی [۱۳] چرمگی شکست در مدل ۱ را به کمک نمونه‌های آزمایشگاهی خمش سه نقطه‌ای بررسی نمودند. در بخش تئوری نیز، بررسی‌ها عموماً در دو دیدگاه انرژی پایه و تنש پایه انجام گرفته است. در رابطه با دسته از انرژی پایه، به عنوان مثال در مرجع [۱۴] ظرفیت تحمل بار در نمونه‌های از جنس گرافیت با دقت قابل قبولی توسط معیار چگالی انرژی کرنشی پیش‌بینی شده است. همچنین، نتایج تجربی موجود در مرجع [۱۵] در رابطه با شکست قطعات شیاردار و از جنس پلکسی گلاس در دمای اتاق و تحت شرایط مدل ۱۱ خالص به طور موفقیت‌آمیزی به کمک معیار چگالی انرژی کرنشی پیش‌بینی شد. در مرجع [۱۶] به منظور جلوگیری از اثرات پلاستیسیته بر نتایج موجود، آزمایش‌های مرجع [۱۵] در دمای ۶۰- درجه سانتیگراد تکرار گردیده و مجدداً دقت قابل قبول معیار چگالی انرژی کرنشی در پیش‌بینی نتایج تجربی اثبات گردیده است. از دیگر تحقیقات موجود بر پایه انرژی در حوزه شیارها می‌توان به مرجع [۱۷] اشاره نمود که معیار چگالی انرژی کرنشی تحت شرایط بارگذاری مدل ترکیبی ۱/۱۱۱ مورد آزمون قرار گرفت. در رابطه با دسته معیارهای بر پایه تنش نیز تحقیقات وسیعی گزارش شده است. برای نمونه، آیت‌الله و ترابی در مرجع [۱۸] به کمک معیار حداکثر تنش محیطی شیار<sup>۵</sup>، چرمگی شکست در نمونه‌های دیسک برزیلی دقت روابط شیار ۷ شکل نوک گرد و از جنس پلکسی گلاس را در دمای اتاق با موفقیت پیش‌بینی نمودند. بررسی‌های تئوری و تجربی مشابهی نیز در مرجع [۱۹] برای

1- Notch fracture mechanics

2- Finite fracture mechanics

3- Theory of critical distances

4- Strain energy density (SED)

5- Round-tip V-notch maximum tangential stress (RV-MTS)

با سوراخ انتهایی، انجام آزمایش‌های شکست بر روی نمونه‌های آزمایشگاهی مدنظر قرار گرفت و تعداد زیادی آزمایش با جزئیات زیر انجام گردید.

### 3-1- جنس مورد استفاده

جنس مورد استفاده در ساخت نمونه‌های آزمایشگاهی، پلیمر پلکسی گلاس بود که در دمای اتاق رفتار شبه ترد از خود نشان می‌دهد. خواص مکانیکی ماده مورد مطالعه در این تحقیق در جدول ۱ آمده است.

### 3-2- نمونه آزمایشگاهی

در این پژوهش، نمونه آزمایشگاهی به شکل دیسک برزیلی دارای شیار مرکزی ۷ شکل با سوراخ انتهایی (شیار VO ۷۰ شکل) مدنظر قرار گرفت. (نمونه آزمایشگاهی وی-او-بی-دی<sup>۱</sup>). علت انتخاب این نمونه، قابلیت اعمال انواع مدهای بارگذاری ترکیبی بر روی آن بود که بدون نیاز به هیچ‌گونه نگهدارنده خاص، این امکان را فراهم می‌نمود. نمایی از نمونه آزمایشگاهی انتخاب شده و پارامترهای ابعادی آن در شکل ۲ ارائه شده است.

در رابطه با ابعاد استفاده شده برای دیسک برزیلی مورد آزمایش، قطر  $D$  برابر ۸۰ میلی متر، طول سر به سر شیار مرکزی ( $a$ ) برابر ۴۰ میلی متر و ضخامت  $t$  برابر ۱۰ میلی متر انتخاب شد. به لحاظ ابعاد شیار موجود در مرکز دیسک برزیلی، زوایای ۳۰، ۶۰ و ۹۰ درجه برای زاویه ۷ شکل دهانه شیار (۲α) و شعاع‌های ۰.۵، ۱، ۲ و ۴ میلی متر برای سوراخ انتهایی ( $\rho$ ) انتخاب گردید. لذا، در مجموع ۴ هندسه مختلف شیار بر روی نمونه‌های آزمایش ایجاد شد. اما، در نمونه آزمایشگاهی انتخاب شده به منظور ایجاد مدهای مختلف بارگذاری بر روی نمونه‌های آزمایش، می‌توان بر طبق شکل ۳، زاویه بین راستای اعمال نیرو توسط دستگاه و خط نیمساز شیار (زاویه  $\beta$ ) را تغییر داد و مقادیر مختلف ترکیب مدد را ایجاد نمود. به عنوان مثال، با قرار دادن زاویه  $\beta$  برابر با صفر، شرایط مدد ۱ خالص یا کشنش خالص در شیار ایجاد گشته که با افزایش این زاویه در جهت دوران نشان داده شده در شکل ۳، شرایط مدد ترکیبی ۱/۱/۱ یا ترکیب کشنش/برش ایجاد شده و نهایتاً، با قرار گرفتن نمونه وی-او-بی-دی تحت زاویه‌ای خاص به نام  $\alpha\beta$ ، شرایط مدد برشی خالص یا مدد ۱۱ خالص ایجاد می‌گردد. در رابطه با زاویه‌های بارگذاری  $\beta$  انتخاب شده در آزمایش‌های شکست، هریک از ۴ هندسه نمونه‌های وی-او-بی-دی تحت ۲ زاویه  $\beta$  مدد ترکیبی آزمایش شدند. با توجه به ۴ هندسه در نظر گرفته شده برای شیار، ۲ مقدار زاویه بارگذاری مختلف برای هر هندسه شیار و انجام ۳ آزمایش شکست برای بررسی تکرارپذیری نتایج هر آزمایش، در مجموع ۷۲ آزمایش شکست انجام گردید.

در شکل‌های ۴ و ۵، نمونه‌های وی-او-بی-دی در حین انجام آزمایش شکست و بعد از شکست نشان داده شده‌اند.

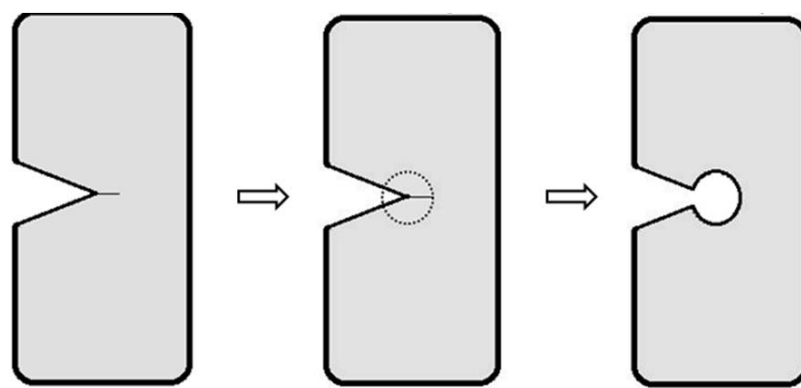
### 3-3- نتایج آزمایش

مقادیر بار شکست برای هریک از سه آزمایش انجام شده برای نمونه وی-او-بی-دی به همراه متوسط آنها در جدول ۲ ارائه شده است. قابل ذکر است

جدول ۱ خواص مکانیکی پلکسی گلاس [۱۳]

۲/۹۶ GPa	مدول یانگ	$E$
۰/۳۸	ضریب پواسون	$v$
۷۰/۵ MPa	استحکام کشنشی	$\sigma_u$
۰۵/۹۶ MPam	چرمگی شکست کرنش صفحه‌ای	$K_{Ic}$

1- Brazilian disk weakened by a V-notch with end hole (VO-BD)



شکل ۱ شیار ۷ شکل با سوراخ انتهایی ایجاد شده در فرآیند تعمیر ترک

حدود ۹۳٪ بود. علاوه بر آن، در مرجع [۲۵]، ترابی و پیرهادی دو معیار حداقل تنفس محیطی شیار و تنفس متوسط شیار را برای شیارهای کلیدی شکل، در حالت مدد ترکیبی فرمول‌بندی نمودند. ایشان، نتایج حاصل از این معیارها را به صورت منحنی‌های شکست و زاویه شروع شکست به دست آورند. سپس به منظور بررسی دقیق معیارهای ارائه شده، داده‌های تجربی موجود در مرجع [۲۳] را مد نظر قرار دادند. از مقایسه نتایج تئوری و تجربی مشخص گردید که دقیق‌تر کلی هر دو معیار قابل قبول است، ولیکن برای شعاع‌های کوچک نوک شیار، معیار حداقل تنفس محیطی شیار پیش‌بینی‌های بهتری را ارائه می‌دهد. بالعکس، برای شعاع‌های بزرگ نوک شیار، معیار تنفس متوسط شیار بهتر عمل می‌کند. در رابطه با زاویه شروع شکست نیز هر دو معیار، مقادیر تجربی را با دقیق‌تر بالایی پیش‌بینی می‌نمایند. اما از جدیدترین کارهای انجام شده در رابطه با بررسی شکست ترد شیارهای ۷ شکل با سوراخ انتهایی می‌توان به پژوهش ترابی و امینی نژاد اشاره نمود [۲۶]. در این پژوهش، نخست ۴۸ آزمایش شکست ترد بر روی نمونه‌های دیسک برزیلی دارای شیار مرکزی ۷ شکل با سوراخ انتهایی و از جنس پلکسی گلاس، در حالت مدد ۱ خالص (کشنش خالص) انجام و بارهای شکست و زوایای شروع شکست ثبت گردید. سپس با در نظر گرفتن میدان تنفس در اطراف شیار ۷ شکل با سوراخ انتهایی در حالت مدد ۱ خالص و به کمک دو معیار شکست ترد تنفس نقطه‌ای و تنفس متوسط، چرمگی شکست و زاویه شروع شکست برای این نوع شیارها پیش‌بینی شد. از مقایسه نتایج تئوری و تجربی در پیش‌بینی بار شکست و زاویه شروع شکست دقیق مناسب هر دو معیار مشخص گردید.

در انتهای بخش معرفه منابع، لازم به ذکر است که علاوه بر معیارهای تنفس پایه و انرژی پایه، معیارهایی نیز توسط محققین ارائه شده است که در آنها از تنفس و انرژی در تعامل با یکدیگر برای پیش‌بینی شکست ترد در شیارها، تحت مدهای بارگذاری مختلف استفاده شده است. به عنوان مثال‌هایی در این حوزه می‌توان به مراجع [۳۰-۲۷] اشاره نمود. علاوه، معیارهایی نیز بر مبنای ریز ساختار ماده ارائه شده است که در هر دو حوزه مدد ۱ خالص و مدد ترکیبی ۱/۱/۱ کاربرد دارند [۳۲, ۳۱].

اما، در پژوهش حاضر، نخست به کمک نمونه‌های آزمایشگاهی دیسک برزیلی دارای شیار ۷ شکل با سوراخ انتهایی و از جنس پلکسی گلاس، بار استاتیکی لازم شکست نمونه‌های آزمایشگاهی در مدد ترکیبی ۱/۱/۱ اندازه‌گیری شد. سپس، بارهای شکست تجربی ثبت شده به کمک معیار چگالی انرژی کرنشی پیش‌بینی گردید. نهایتاً، از مقایسه بین نتایج تئوری و تجربی مشاهده گردید که بارهای شکست تجربی با دقیق‌تر به کمک معیار چگالی انرژی کرنشی پیش‌بینی می‌گردند.

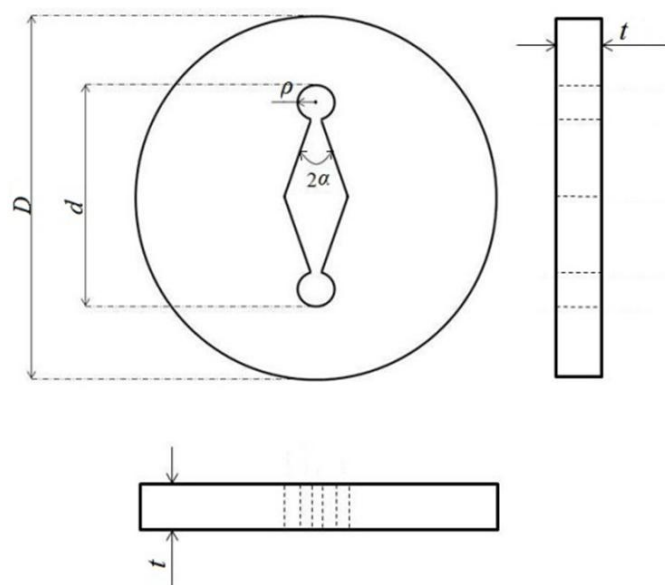
### 3- بخش تجربی

جهت بررسی تجربی بار شکست در قطعات ترد تضعیف شده با شیار ۷ شکل

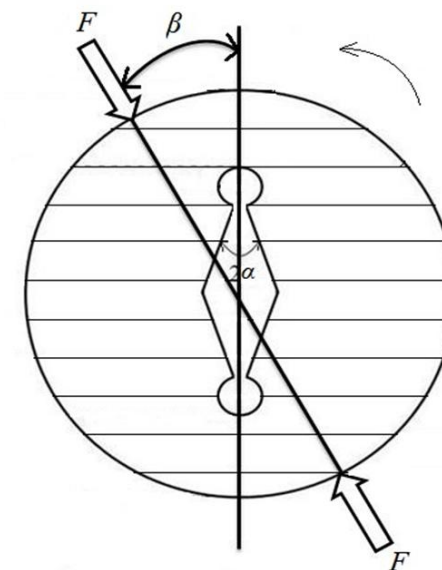
جدول ۲ بارهای تجربی شکست در نمونه‌های وی-او-بی-دی تحت بارگذاری مركب کششی

شاخص هندسه	بار شکست ۱ (نیوتون)	بار شکست ۲ (نیوتون)	بار شکست ۳ (نیوتون)	بار شکست متوسط (نیوتون)
30-0/5-10	4754	4332	4707	4597/6
30-0/5-15	4395	4650	5203	4749/3
30-1-10	4395	5505	4651	4580/3
30-1-15	4127	4533	4949	4536/3
30-2-10	6699	6082	6427	6402/6
30-2-15	5203	4815	5308	5108/6
30-4-10	6261	6156	6208	6208/3
30-4-15	5742	5456	6156	5784/6
60-0/5-10	3857	3834	3620	3770/3
60-0/5-20	3734	3935	3834	3834/3
60-1-10	4395	3834	4280	4169/6
60-1-20	4357	4318	4280	4318/3
60-2-10	4874	4993	4844	4903/6
60-2-20	4228	4561	4693	4494
60-4-10	5758	5305	5686	5583
60-4-20	5399	5686	5488	5524/3
90-0/5-10	2371	2353	2609	2444/3
90-0/5-20	2738	3013	2886	2879
90-1-10	2722	2915	2907	2848
90-1-20	3279	3279	2969	3175/6
90-2-10	3359	2862	2916	3045/6
90-2-20	3319	3439	3445	3041
90-4-10	3700	3911	3947	3852/6
90-4-20	3745	4071	3900	3905/3

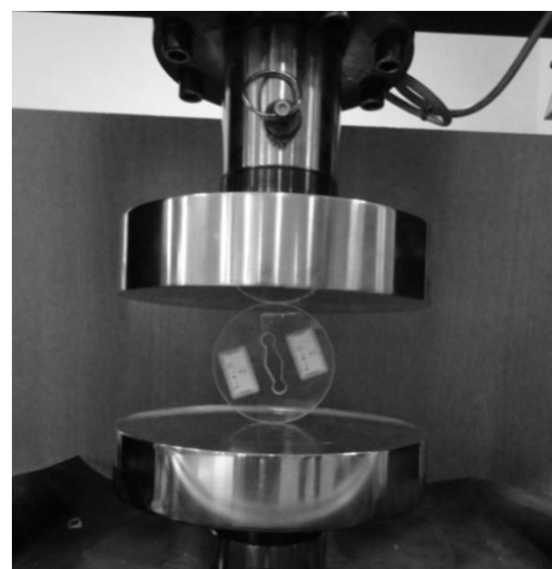
که در ستون اول، سه رقم موجود در شاخص هندسه به ترتیب بیانگر زاویه دهانه شیار، شعاع سوراخ انتهایی و زاویه بارگذاری می‌باشند. در بخش بعد، بارهای شکست ارائه شده در جدول ۲، به کمک معیار چگالی انرژی کرنشی پیش بینی می‌گرددند.



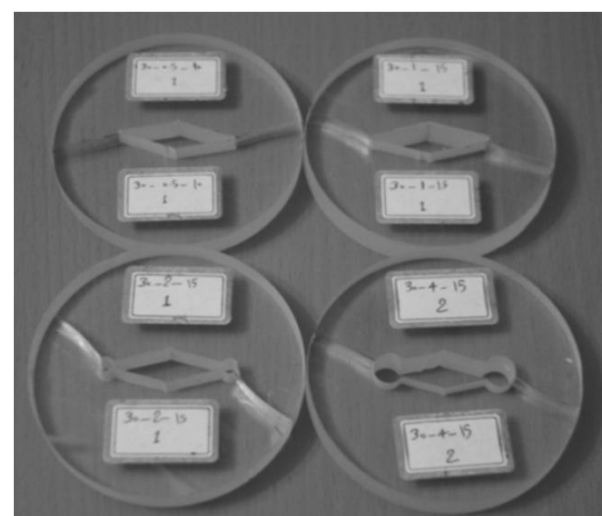
شکل ۲ سه نمای نمونه آزمایشگاهی دیسک برزیلی دارای شیار مرکزی ۷ شکل با سوراخ انتهایی



شکل ۳ طریقه ایجاد مدهای مختلف بارگذاری در نمونه وی-او-بی-دی



شکل ۴ نمونه آزمایشگاهی وی-او-بی-دی در حین آزمایش شکست مدن ترکیبی

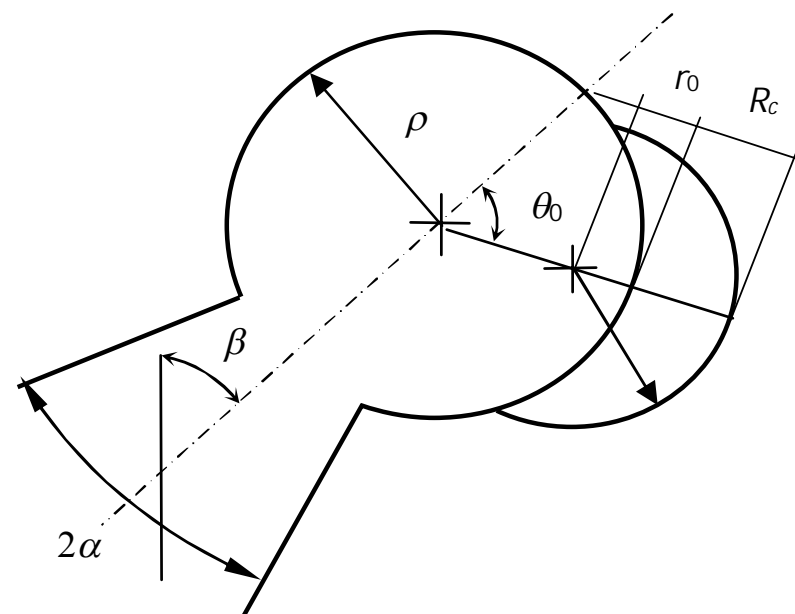


شکل ۵ نمونه‌های آزمایشگاهی وی-او-بی-دی بعد از آزمایش شکست

کرنشی به این ترتیب است که ابتدا یک مدل اجزای محدود برای نمونه آزمایشگاهی ایجاد شده و بار واحدی به نمونه (بار  $F$  در شکل ۳) اعمال می‌شود. شعاع حجم کنترل بحرانی مطابق رابطه ۱ برای ماده مورد مطالعه محاسبه شده و حجم کنترل مورد نظر مطابق شکل ۶ در مدل اجزای محدود علامت‌گذاری می‌شود. سپس، به عنوان یک خروجی متداول از تحلیل‌های اجزای محدود، متوسط چگالی انرژی کرنشی در حجم کنترل به ازای بار واحد اعمال شده به مدل محاسبه می‌گردد. در نهایت، بار اعمالی به مدل افزایش می‌یابد تا آنجا که مقدار متوسط چگالی انرژی کرنشی در حجم کنترل نیز افزایش یافته و به مقدار بحرانی خود یعنی  $W_c$  برسد. بار متناظر شرایط  $W_c = \bar{W}$  برابر با بار شکست پیش‌بینی شده توسط معیار چگالی انرژی کرنشی خواهد بود. لازم به ذکر است که فرض شده این تساوی در شرایط مدد  $\alpha$ ، مدد  $\beta$  و مدد ترکیبی  $\alpha/\beta$  برقرار است، که این موضوع به طور گستردگی در تحقیقات گذشته مورد بررسی قرار گرفته است [34].

با توجه به جدول ۱ و خواص داده شده برای ماده پلکسی گلاس، می‌توان مقدار چگالی انرژی کرنشی بحرانی را بر طبق رابطه ۴ محاسبه نمود که برابر با  $0.839$  مگاژول بر متر مکعب می‌شود، درحالی‌که شعاع حجم کنترل بر طبق رابطه ۱ برابر با  $0/166$  میلی‌متر خواهد شد. مقادیر چگالی انرژی کرنشی متوسط در حجم کنترل، با استفاده از تحلیل‌های الاستیک خطی و به کمک نرمافزار اجزای محدود انسیس و برای هر هندسه مورد نظر محاسبه گردید. برای تمامی نمونه‌های مدل‌سازی شده، المان‌های ۸ گره‌ای مرتبه دوم در شرایط کرنش صفحه‌ای استفاده شد. به منظور بررسی تأثیر تعداد المان‌های مدل بر روی نتایج تحلیل (مقدار چگالی انرژی کرنشی)، تعداد المان‌ها به طور متناوب افزایش یافت و نتایج با یکدیگر مقایسه شد. مشاهده شد، درحالی‌که مقادیر تنفس، کرنش و تغییر مکان‌ها در همسایگی شیار به شدت به تعداد المان‌ها حساس است، مقدار چگالی انرژی کرنشی تابع تعداد المان‌ها نبوده و می‌توان حتی با ۱۰ المان در داخل حجم کنترل به همگرایی رسید. این نتیجه پیشتر نیز در تحقیقات سایر محققین گزارش شده است [33]. شرایط مرزی و نحوه بارگذاری بر روی مدل اجزای محدود نمونه‌ها به این صورت است که پایین‌ترین نقطه نمونه ( محل تماس فک پایینی دستگاه با نمونه) کاملاً بسته شده و نقطه متناظر آن در بالاترین نقطه نمونه طوری مقید می‌شود که فقط در راستای بارگذاری اجزاء حرکت داشته باشد. بار فشاری بر روی نمونه نیز به صورت متمرکز و بر روی بالاترین نقطه نمونه ( محل تماس فک بالایی دستگاه با نمونه) اعمال می‌شود. نهایتاً، بر اساس روش شرح داده شده، بار شکست بر اساس چگالی انرژی کرنشی محاسبه شد. در جدول ۳، بار شکست تجربی متوسط به ازای سه آزمایش انجام شده به همراه مقدار تئوری پیش‌بینی شده بر اساس معیار چگالی انرژی کرنشی برای هر هندسه شیار آمده است. در ستون چهارم (از سمت چپ) جدول ۳ نیز، درصد اختلاف بین پیش‌بینی‌های تئوری و مقادیر تجربی آمده است.علاوه، ستون آخر جدول ۳ بیانگر ریشه متوسط مربعات خطای است که به صورت درصدی بیان شده است. در واقع مقادیر ارائه شده بیانگر درصد ریشه متوسط مربعات خطای در قیاس با مقدار متوسط بار شکست تجربی است.

جهت درک بهتر نتایجی که در جدول ۳ ارائه شده‌اند، می‌توان آن‌ها را به صورت گرافیکی نیز نمایش داد. به عنوان نمونه در شکل ۷، منحنی بار شکست پیش‌بینی شده بر اساس تئوری در برابر شعاع سوراخ انتهایی، به همراه نتایج تجربی (دایره‌های تو خالی) برای زاویه دهانه شیار برابر  $30$  درجه، و به تفکیک زوایایی بارگذاری مدد ترکیبی آمده است. چنانکه به صورت گرافیکی نیز قبل مشاهده است، عموماً نتایج تئوری در تطابق خوبی با



شکل ۶ حجم کنترل مورد نظر برای یک شیار ۷ شکل با سوراخ انتهایی تحت بارگذاری مدد ترکیبی

ترک و با شعاع  $R_c$  در نظر گرفته می‌شود [9]. در شکل ۶، زاویه  $\theta_0$  بیانگر زاویه نقطه‌ای است که در آن تنש‌های اصلی به حداقل مقدار ممکن می‌رسند که نسبت به خط نیمساز شیار سنجش می‌گردد. در حالت کرنش صفحه‌ای، اندازه حجم کنترل بحرانی را می‌توان به کمک رابطه ۱ محاسبه نمود [9].

$$R_c = \left( \frac{K_{Ic}}{\sigma_t} \right)^2 \frac{(1 + v)(5 - 8v)}{4\pi} \quad (1)$$

در رابطه ۱،  $K_{Ic}$  چقرمگی شکست ماده مورد نظر،  $v$  ضریب پواسون و  $\sigma_t$  استحکام کشنشی ماده می‌باشند. در شکل ۶، شعاع بیرونی حجم کنترل برابر با  $r_0 + R_c$  است. نیز تابعی از زاویه دهانه شیار و شعاع سوراخ انتهایی بوده که با رابطه ۲ مشخص می‌گردد.

$$r_0 = \rho \frac{q - 1}{1} \quad (2)$$

که در آن:

$$q = \frac{2\pi - 2\alpha}{\pi} \quad (3)$$

توجه گردد که در شیارهای ۷ شکل با سوراخ انتهایی، حجم کنترل در محلی قرار گرفته که حداقل تنش اصلی در مرز شیار رخ می‌دهد. ذکر این نکته ضروری است که مزیت معیارهای بر پایه انرژی نسبت به معیارهای تنش پایه این است که به مشاهدهای خیلی ریز در اطراف نواحی تمرکز تنش نیازی نیست [33].

#### ۲-۴- معیار چگالی انرژی کرنشی برای شکست نمونه‌های پلکسی گلاس دارای شیار ۷ شکل با سوراخ انتهایی

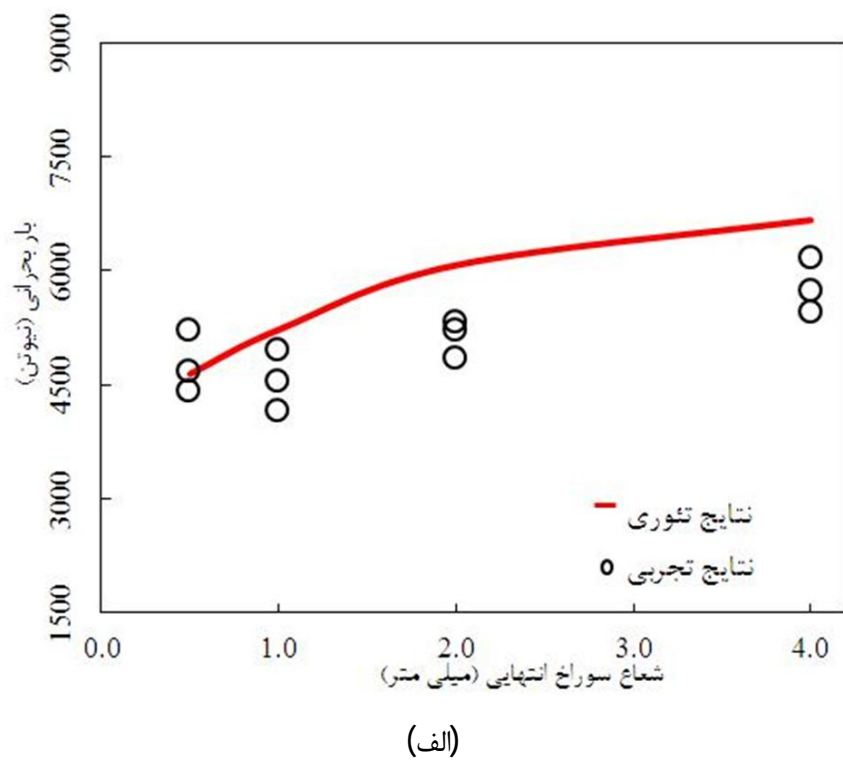
در این قسمت، معیار چگالی انرژی کرنشی شرح داده شده در بخش قبل، جهت بررسی شکست شیارهای ۷ شکل با سوراخ انتهایی و از جنس پلکسی گلاس مورد استفاده قرار می‌گیرد. مقادیر چگالی انرژی کرنشی، به کمک مدل اجزای محدود ایجاد شده برای هر نمونه آزمایش قابل محاسبه است. بر طبق معیار چگالی انرژی کرنشی، شکست زمانی رخ می‌دهد که متوسط چگالی انرژی کرنشی در یک حجم کنترل بحرانی ( $\bar{W}$ ) به مقدار بحرانی خود، یعنی  $W_c$  برسد. این مقدار بحرانی می‌تواند براساس رابطه بلترامی به شرح زیر محاسبه گردد:

$$W_c = \frac{\sigma_t^2}{2E} \quad (4)$$

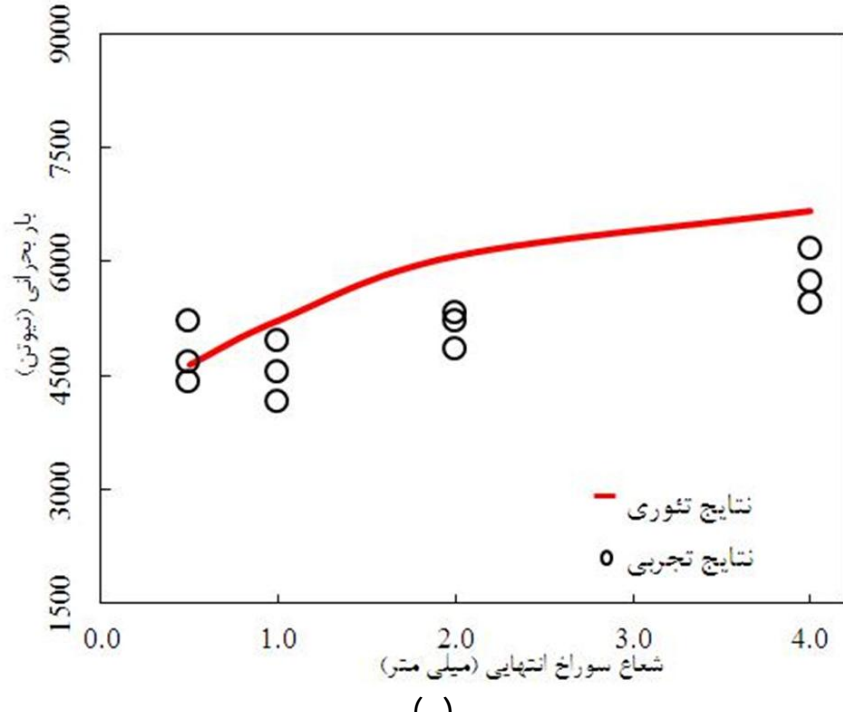
نحوه محاسبه بارهای شکست نمونه‌ها به کمک معیار چگالی انرژی

کنترل کننده شکست در نظر گرفته می‌شود و نه مقدار این پارامتر در حجم کنترل در همسایگی شیار. بدیهی است، چنانچه مقادیر چگالی انرژی کرنشی علاوه بر نوک شیار در تعداد نقاط قابل توجهی از همسایگی شیار (نقاط موجود در حجم کنترل) نیز در نظر گرفته شده و متوسط مقادیر یادشده به عنوان پارامتر تعیین کننده شکست در نظر گرفته شوند (مثل آنچه در این تحقیق صورت گرفته است)، مقدار متوسط چگالی انرژی کرنشی در حجم کنترل از مقدار آن در نوک شیار کمتر بوده و لذا بار بیشتری برای رسیدن چگالی انرژی کرنشی به مقدار بحرانی خود مورد نیاز است بنابراین، بار بحرانی بیشتری برای شکست نمونه‌های شیاردار پیش‌بینی می‌شود (این موضوع برای شعاع شیار 4 میلی‌متر با اختلاف 27٪ به وضوح مشخص است). در تأیید این توجیه اختلاف‌ها، همچنین می‌توان به نتایج مربوط به شعاع شیار 0.5 میلی‌متر اشاره کرد. این شعاع در تحقیق حاضر کمترین فاصله را با حالت نوک‌تیز (صفرا) داشته و لذا به دلیل وجود گرادیان تنش بالا در همسایگی شیار، استفاده از معیار چگالی انرژی کرنشی در حجم کنترل اطراف شیار منجر به پیش‌بینی‌های تئوری با دقت بالا شده است.

همان طور که در بخش معرفی پژوهش‌های پیشین نیز گفته شد، آخرین تحقیق انجام شده بر روی شکست شیار ۷ شکل با سوراخ انتهایی، کار ترابی



(الف)



(ب)

شکل ۷ منحنی بار شکست بر حسب شعاع سوراخ انتهایی برای زاویه دهانه شیار برابر 30 درجه، (الف) برای  $\beta = 10$  درجه (ب) برای  $\beta = 15$  درجه

جدول ۳ مقایسه بین بارهای شکست پیش‌بینی شده بر اساس تئوری و مقادیر تجربی به همراه درصد اختلاف بین نتایج

ردیف	تاریخ	شناختی	بار شکست تئوری (نیوتون)	درصد اختلاف	مریعات خطای متوسط (درصد)
۱	۳۰-۰۵-۱۰	۴۵۹۷/۶	۴۸۹۳	۶/۵	۷/۶
۲	۳۰-۰۵-۱۵	۴۷۴۹/۳	۴۶۴۵	-۲/۲	۷/۴
۳	۳۰-۱-۱۰	۴۵۸۰/۳	۵۵۰۱	۱۳/۵	۱۷/۶
۴	۳۰-۱-۱۵	۴۵۳۶/۳	۵۲۲۷	۱۵/۲	۱۶/۹
۵	۳۰-۲-۱۰	۶۴۰۲/۶	۶۳۵۵	-۰/۸	۴
۶	۳۰-۲-۱۵	۵۱۰۸/۶	۶۰۷۵	۱۹	۱۹/۴
۷	۳۰-۴-۱۰	۶۲۰۸/۳	۷۰۵۰	۱۳/۵	۱۳/۶
۸	۳۰-۴-۱۵	۵۷۸۴/۶	۶۶۶۸	۱۵/۲	۱۶
۹	۶۰-۰۵-۱۰	۳۷۷۰/۳	۳۶۵۱	-۳/۲	۴/۲
۱۰	۶۰-۰۵-۲۰	۳۸۳۴/۳	۳۸۴۰	۰/۱۵	۲/۲
۱۱	۶۰-۱-۱۰	۴۱۶۹/۶	۴۲۲۲	۱/۳	۶
۱۲	۶۰-۱-۲۰	۴۳۱۸/۳	۴۲۱۵	-۲/۴	۲/۵
۱۳	۶۰-۲-۱۰	۴۹۰۳/۶	۴۹۹۹	۲	۲/۴
۱۴	۶۰-۲-۲۰	۴۴۹۴	۴۹۵۳	۱۰/۲	۱۱/۱
۱۵	۶۰-۴-۱۰	۵۵۸۳	۵۹۷۸	۷/۱	۸
۱۶	۶۰-۴-۲۰	۵۵۲۴/۳	۶۱۶۳	۱۱/۶	۱۱/۸
۱۷	۹۰-۰۵-۱۰	۲۴۴۴/۳	۲۳۴۸	-۴	۶/۲
۱۸	۹۰-۰۵-۲۰	۲۸۷۹	۳۰۰۳	۴/۳	۵/۸
۱۹	۹۰-۱-۱۰	۲۸۴۸	۲۷۶۳	-۳	۴/۳
۲۰	۹۰-۱-۲۰	۳۱۷۵/۶	۳۲۰۷	۱	۴/۷
۲۱	۹۰-۲-۱۰	۳۰۴۵/۶	۳۵۵۹	۱۶/۹	۱۸/۴
۲۲	۹۰-۲-۲۰	۳۰۴۱	۳۸۳۵	۱۲/۸	۱۴/۴
۲۳	۹۰-۴-۱۰	۳۸۵۲/۶	۴۹۰۴	۲۷/۳	۲۷/۴
۲۴	۹۰-۴-۲۰	۳۹۰۵/۳	۴۹۶۹	۲۷/۲	۲۷/۴

داده‌های تجربی می‌باشند. با نگاهی به شکل ۷ ملاحظه می‌شود که به طور کلی با افزایش شعاع سوراخ انتهایی، دقت معیار چگالی انرژی کرنشی کاهش می‌یابد. این نکته به خصوص برای شعاع شیار 4 میلی‌متر بسیار مشهود است (مطابق جدول ۳، مقدار اختلاف نتایج تئوری و تجربی برای این شعاع شیار به 27٪ نیز رسیده است). توجه به این نکته مهم ضروری است که حوزه مکانیک شکست شیار تنها شعاع‌های شیاری را بررسی می‌کند که تا حد امکان به حالت نوک‌تیز (شعاع صفر) نزدیک باشند.

در پژوهش‌های گسترده‌ای که در این حوزه توسط محققین مختلف انجام شده است [۲۶, ۱۲]، نشان داده شده است که برای شعاع‌های شیار بزرگتر یا مساوی حدود 4 میلی‌متر، نیازی به استفاده از معیارهای شکست حوزه مکانیک شکست شیار نبوده و می‌توان با معیارهای ساده بر مبنای ضریب تمرکز تنش، شکست را پیش‌بینی نمود. دلیل این موضوع نیز این است که با افزایش شعاع شیار، گرادیان تنش در همسایگی نزدیک شیار کاهش‌یافته و برای مقادیر بزرگتر از 4 میلی‌متر، تقریباً ناچیز است. بنابراین، در این حالت مقدار چگالی انرژی کرنشی در نوک شیار به عنوان پارامتر

- components under mode I loadings, *Int. J. Fract.*, Vol. 123, pp. 107–125, 2003.
- [7] A. Sapora, P. Cornetti, A. Carpinteri, A Finite Fracture Mechanics approach to V-notched elements subjected to mixed-mode loading, *Eng. Fract. Mech.*, Vol. 97, pp. 216–226, 2013.
- [8] L. Susmel, D. Taylor, The Theory of Critical Distances to estimate lifetime of notched components subjected to variable amplitude uniaxial fatigue loading, *Int. J. Fatigue*, Vol. 33, pp. 900–911, 2011.
- [9] P. Lazzarin, R. Zambardi, A finite-volume-energy based approach to predict the static and fatigue behavior of components with sharp V-shaped notches, *Int. J. Fract.*, Vol. 112, pp. 275–298, 2001.
- [10] P. Lazzarin, F. Berto, M. Elices, J. Gomez, Brittle failures from U- and V-notches in mode I and mixed, I + II, mode: A synthesis based on the strain energy density averaged on finite-size volumes, *Fatigue Fract. Eng. Mater. Struct.*, Vol. 32, pp. 671–684, 2009.
- [11] F. Berto, P. Lazzarin, M. R. Ayatollahi, Brittle fracture of sharp and blunt V-notches in isostatic graphite under torsion loading, *Carbon*, Vol. 50, pp. 1942–1952, 2012.
- [12] A. R. Torabi, A. Campagnolo, F. Berto, Mode II brittle fracture assessment of key-hole notches by means of the local energy, *J. Test. Eval.*, Accepted manuscript, 2015.
- [13] M. R. Ayatollahi, A. R. Torabi, Failure assessment of notched polycrystalline graphite under tensile-shear loading, *Mater. Sci. Eng. A*, Vol. 528, pp. 5685–5695, 2011.
- [14] A. R. Torabi, M. Fakoor, M. A. Darbani, Pure shear fracture study in a brittle graphite material containing a U-notch, *Int. J. Damage Mech.*, Vol. 23, pp. 839–854, 2014.
- [15] F. Berto, M. Elices, P. Lazzarin, M. Zappalorto, Fracture behaviour of notched round bars made of PMMA subjected to torsion at room temperature, *Eng. Fract. Mech.*, Vol. 90, pp. 143–160, 2012.
- [16] F. Berto, D. A. Cendon, P. Lazzarin, M. Elices, Fracture behaviour of notched round bars made of PMMA subjected to torsion at  $-60^{\circ}$ , *Eng. Fract. Mech.*, Vol. 102, pp. 271–287, 2013.
- [17] L. Susmel, D. Taylor, The theory of critical distances to predict static strength of notched brittle components subjected to mixed-mode loading, *Eng. Fract. Mech.*, Vol. 75, pp. 534–550, 2008.
- [18] M. R. Ayatollahi, A. R. Torabi, Investigation of mixed mode brittle fracture in rounded-tip V-notched components, *Eng. Fract. Mech.*, Vol. 77, pp. 3087–3104, 2010.
- [19] M. R. Ayatollahi, A. R. Torabi, P. Azizi, Experimental and theoretical assessment of brittle fracture in engineering components containing a sharp V-notch, *Exp. Mech.*, Vol. 51, pp. 919–932, 2010.
- [20] M. Zappalorto, P. Lazzarin, In-plane and out-of-plane stress field solutions for V-notches with end holes, *Int. J. Fract.*, Vol. 168, pp. 167–180, 2011.
- [21] P. Lazzarin, M. Zappalorto, F. Berto, Generalised stress intensity factors for rounded notches in plates under in-plane shear loading, *Int. J. Fract.*, Vol. 170, pp. 123–144, 2011.
- [22] F. Berto, M. Zappalorto, Fictitious notch rounding concept applied to V-notches with end holes under mode I loading, *Int. J. Fract.*, Vol. 171, pp. 91–98, 2011.
- [23] P. Lazzarin, F. Berto, M.R. Ayatollahi, Brittle failure of inclined key-hole notches in isostatic graphite under in-plane mixed mode loading, *Fatigue. Fract. Eng. Mater. Struct.*, Vol. 00, pp. 1–14, 2013.
- [24] A.R. Torabi, Closed-form expressions of mode I apparent notch fracture toughness for key-hole notches, *J. Strain. Anal. Eng. Design*, Vol. 49(8), pp. 583–591, 2014.
- [25] A.R. Torabi, E. Pirhadi, Stress-based criteria for brittle fracture in key-hole notches under mixed mode loading, *European. J. Mech A/ Solids*, Vol. 49, pp. 1–12, 2015.
- [26] A.R. Torabi, SH. Amininejad, Brittle fracture in V-notches with end holes, *Int. J. DamagMech*, DOI: 10.1177/1056789514538293, Article in press, 2014.
- [27] Z. Yosibash, A. Bussiba, I. Gilad, Failure criteria for brittle elastic materials, *Int. J. Fract.*, Vol. 125, pp. 307–333, 2004.
- [28] Z. Yosibash, E. Priel, D. Leguillon, A failure criterion for brittle elastic materials under mixed-mode loading, *Int. J. Fract.*, Vol. 141, pp. 291–312, 2006.
- [29] E. Priel, A. Bussiba, I. Gilad, Z. Yosibash, Mixed mode failure criteria for brittle elastic V-notched structures, *Int. J. Fract.*, Vol. 144, pp. 247–265, 2007.
- [30] D. Leguillon, Z. Yosibash, Crack onset at a V-notch. Influence of the notch tip radius, *Int. J. Fract.*, Vol. 122, pp. 1–21, 2003.
- [31] A. Seweryn, Brittle fracture criterion for structures with sharp notches, *Eng. Fract. Mech.*, Vol. 47, pp. 673–681, 1994.
- [32] A. Seweryn, A. Lukaszewicz, Verification of brittle fracture criteria for elements with V-shaped notches, *Eng. Fract. Mech.*, Vol. 69, pp. 1487–1510, 2002.
- [33] P. Lazzarin, F. Berto, M. Zappalorto, Rapid calculations of notch stress intensity factors based on averaged strain energy density from coarse meshes: Theoretical bases and applications, *Int. J. Fatigue*, Vol. 32, pp. 1559–1567, 2010.
- [34] F. Berto, P. Lazzarin, Recent developments in brittle and quasi-brittle failure assessment of engineering materials by means of local approaches, *Mat. Sci. Eng. R.*, Vol. 75, pp. 1–48, 2014.

و امینی نژاد [26] بوده است. در تحقیق ایشان [26], شکست نمونه‌های شیاردار دیسک- شکل از جنس پلکسی گلاس تحت بارگذاری مدد خالص مورد بررسی تئوری و تجربی قرار گرفته است لیکن، در پژوهش حاضر، نویسنده‌گان مقاله در ادامه تحقیق گزارش شده در مرجع [26]، برای اولین بار، شکست نمونه‌های پلکسی گلاس را تحت بارگذاری ترکیبی کشش- برش به صورت تجربی و تئوری مورد بررسی قرار داده و معیار چگالی انرژی کرنشی را برای پیش‌بینی بار شکست نمونه‌های آزمایشگاهی ارائه نمودند. نتایج حاصل از این پژوهش می‌تواند در طراحی قطعات ترد و شبه ترد حاوی شیار ۷ شکل با سوراخ انتهایی مورد استفاده قرار گیرد. به علاوه، توجه شود که اهمیت اصلی این پژوهش در حوزه تعمیر و نگهداری قطعات شیاردار است. بدین ترتیب که به کمک معیار شکست ارائه شده در این تحقیق برای شیارهای ۷ شکل با سوراخ انتهایی، می‌توان ظرفیت باربری یک قطعه یا سازه ترد یا شبه ترد حاوی شیار ۷ شکل با سوراخ انتهایی (یه‌جامانده از تعمیر شیار ۷ شکل حاوی ترک یا آسیب کوچک در همسایگی شیار) را تعیین نموده و با توجه به وظیفه قطعه در باربری، محدوده اعتبار روش تعمیراتی برای شیار (روش برداشت ترک با سوراخ) را برای کاربران و بهره‌برداران سازه مشخص نمود.

## 5- نتیجه‌گیری

در پژوهش حاضر، تعدادی داده تجربی جدید در رابطه با شکست ترد در شیارهای ۷ شکل با سوراخ انتهایی تحت بارگذاری مدد ترکیبی ارائه شد. در بخش تجربی، نمونه جدید آزمایشگاهی با نام دیسک برزیلی دارای شیار مرکزی ۷ شکل با سوراخ انتهایی و از جنس پلکسی گلاس در دمای اتاق و تحت بارگذاری مدد ترکیبی آزمایش گردید و بار شکست تجربی برای هر هندسه آزمایش شده ثبت شد. در مرحله بعد، معیار چگالی انرژی کرنشی که پیشتر جهت تخمین شکست قطعات ترکدار استفاده شده بود، به حوزه شیارهای ۷ شکل با سوراخ انتهایی بسط داده شد و بار شکست در شیار، براساس این معیار محاسبه گردید. مشاهده گردید که معیار چگالی انرژی کرنشی به خوبی قابلیت پیش‌بینی بار شکست قطعات دارای شیار ۷ شکل با سوراخ انتهایی، تحت بارگذاری مدد ترکیبی را دارد. علاوه بر آن، مشاهده گردید که دقیق پیش‌بینی‌های انجام شده بر اساس معیار چگالی انرژی کرنشی غالباً کمتر از ۲۰٪ خطأ دارد که بیانگر موفق بودن این معیار در حوزه شیارهای ۷ شکل با سوراخ انتهایی است. از فرضیات مربوط به معیار چگالی انرژی کرنشی استنباط می‌شود که در نظر گرفتن فرم هلالی شکل برای حجم کنترل ماده پلکسی گلاس، تحت شرایط مدد ترکیبی بارگذاری، انتخابی مناسب است. همچنین، هر دو پارامتر چگالی انرژی کرنشی بحرانی ( $W_c$ ) و اندازه حجم کنترل ( $R_0$ )، مستقل از هندسه شیار بوده و پارامتر ثابت وابسته به جنس می‌باشدند.

## 6- مراجع

- [1] F. J. Gómez, M. Elices, A fracture criterion for sharp V-notched samples, *Int. J. Fract.*, Vol. 23, pp. 163–175, 2003.
- [2] M. R. Ayatollahi, A. R. Torabi, Tensile fracture in notched polycrystalline graphite specimens, *Carbon*, Vol. 48, pp. 2255–2265, 2010.
- [3] A. R. Torabi, Fracture Assessment of U-Notched Graphite Plates Under Tension, *Int. J. Fract.*, Vol. 181, pp. 285–292, 2013.
- [4] A. R. Torabi, M. Fakoor, E. Pirhadi, Tensile fracture in coarse-grained polycrystalline graphite weakened by a U-shaped notch, *Eng. Fract. Mech.*, Vol. 111, pp. 77–85, 2013.
- [5] A. R. Torabi, Estimation of tensile load-bearing capacity of ductile metallic materials weakened by a V-notch: The equivalent material concept, *Mater. Sci. Eng. A*, Vol. 536, pp. 249–255, 2012.
- [6] P. Livieri, A new path independent integral applied to notched